

Universidad de Costa Rica

Facultad de Ingeniería
Escuela de Ingeniería Eléctrica
IE-0523 Circuitos Digitales 2
II ciclo 2018

Proyecto 1
Diseño capa PHY de una interfaz PCIe

Esteban Vargas, B16998
Yasser Wagon, B47732
Paula Góchez, B53375

Profesor: Jorge Soto

26 de octubre de 2018

Índice

1. Diseño	3
1.1. Generador de relojes	3
1.2. Lógica muxes	4
1.3. Paralelo - 2b serial	6
1.4. 2b Serial a Paralelo	7
1.5. Lógica demuxes	9
1.6. Phy_tx	10
1.7. Phy_rx	11
2. Phy	13

Índice de figuras

1. Señales generador de relojes [Autoría Propia]	3
2. Arquitectura de la lógica de muxes [Creación propia]	4
3. Señales lógica de muxes prueba 1 [Creación propia]	5
4. Señales lógica de muxes prueba final [Creación propia]	5
5. Convertidor paralelo a 2b serial [autoría propia]	6
6. Comprobación funcionamiento Paralelo - 2b Serial [Autoría Propia]	7
7. Convertidor 2b serial a paralelo a [autoría propia]	8
8. Señales convertidor 2b serial a paralelo, conductual y estructural [autoría propia]	9
9. Señales conductual y estructural lógica demuxes [autoría propia]	9
10. Diagrama simplificado Phy_Tx [autoría propia]	10
11. Comprobación funcionamiento bloque Phy_Tx [Autoría Propia]	11
12. Módulo phy_rx [Autoría Propia]	11
13. Secuencia de inicialización phy_rx [Autoría Propia]	12
14. Transmisión de datos al módulo phy_rx [Autoría Propia]	12
15. Arquitectura comunicación phy [Autoría Propia]	13
16. Uso de autoinst y autowire en emacs[Autoría Propia]	14
17. Señales de entrada, módulo phy[Autoría Propia]	15
18. Señales de salida, módulo phy[Autoría Propia]	15

Índice de tablas

1. Plan de trabajo	3
------------------------------	---

Plan de trabajo

Parte del diseño	Pruebas a realizar
Generador de relojes	Observar la respuesta del generador a una frecuencia de 16f
Lógica muxes	Comprobar salida ante entradas con valores válidos en las 4 entradas, en 3 , en 2 y con solo 1 válida
Lógica demuxes	Comparar sus salidas ante el ingreso de una secuencia de 2 válidos, 1 válido y 0
Paralelo a 2b Serial	Colocar un valor válido en la entrada y comprobar el envío de código correcto
2b Serial a Paralelo	Recibir el código BC 4 veces y después el dato enviado en la etapa anterior
Módulo phy_tx.v	Comprobar la congruencia de la salida del módulo con la secuencia que se ingresa
Módulo phy_rx.v	Corrobar la salida del módulo con la secuencia ingresada en la etapa anterior
Módulo phy.v	Al integrarse todo

Tabla 1: Plan de trabajo

1. Diseño

1.1. Generador de relojes

Como primer paso del diseño se creó una descripción conductual de un generador de señales de reloj, el cual recibe una señal de reloj con una frecuencia de 16f (*clk16f*) y mediante bloques *always* y contadores genera otras tres señales con frecuencia reducida a 4f (*clk4f*) , 2f (*clk2f*) y f (*clkf*).

En la figura 1, se muestra la simulación del modulo generador de relojes, donde si se observa con detenimiento se aprecia como efectivamente la señal *clk16f* de color rojo tiene una frecuencia 16 veces más grande que la señal *clkf* de color verde. De forma similar, las señales *clk4f* (de color naranja) y *clk2f* (de color amarillo) tienen una frecuencia 4 y 2 veces más grande que la señal *clkf*, respectivamente. Se observa como la descripción conductual y la estructural, sintetizada por Yosys, se comportan de manera idéntica.

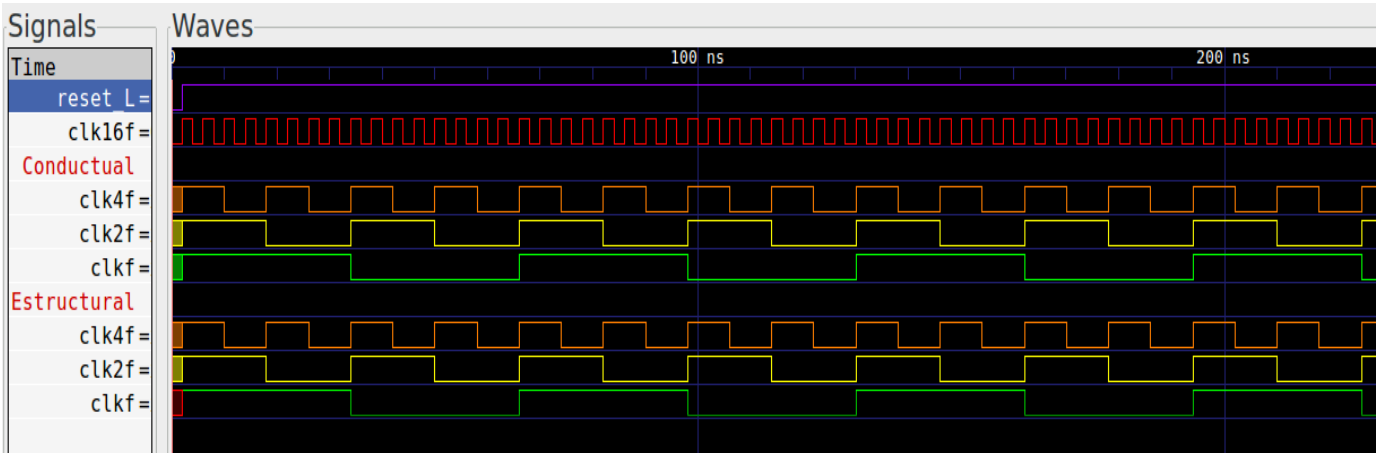


Figura 1: Señales generador de relojes [Autoría Propia]

1.2. Lógica muxes

Para los multiplexores de transmisión, en la primera etapa se requiere uno 4 a 2, el cual manipula el dato según su bit de válido. Ante una entrada válida transmite el dato como se encuentra con su bit de válido en alto, en caso contrario propaga el último valor válido que hubo en esa entrada con el bit de válido en 0.

El objetivo de estos mux es transmitir los 4 datos que se encuentran en la entrada y propagarlos cada vez con menos bits para enviarlos al probador. Debido a esto se elige una arquitectura como la que se muestra en la Fig. 1.2 en donde la frecuencia la primera etapa es el doble de rápida que el segundo elemento y así el segundo puede propagar correctamente los valores de sus entradas; para esto se asigna en las entradas del clk de cada módulo mux el reloj correspondiente, generado en la sección anterior.

Para describir el mux 4:1 se decide utilizar 2 mux 2:1 ya que de esta forma puede utilizarse un selector automático que siempre itere entre las entradas, para la segunda etapa se requiere solo un mux 2:1, teniendo el cuidado de asignar correctamente los clock

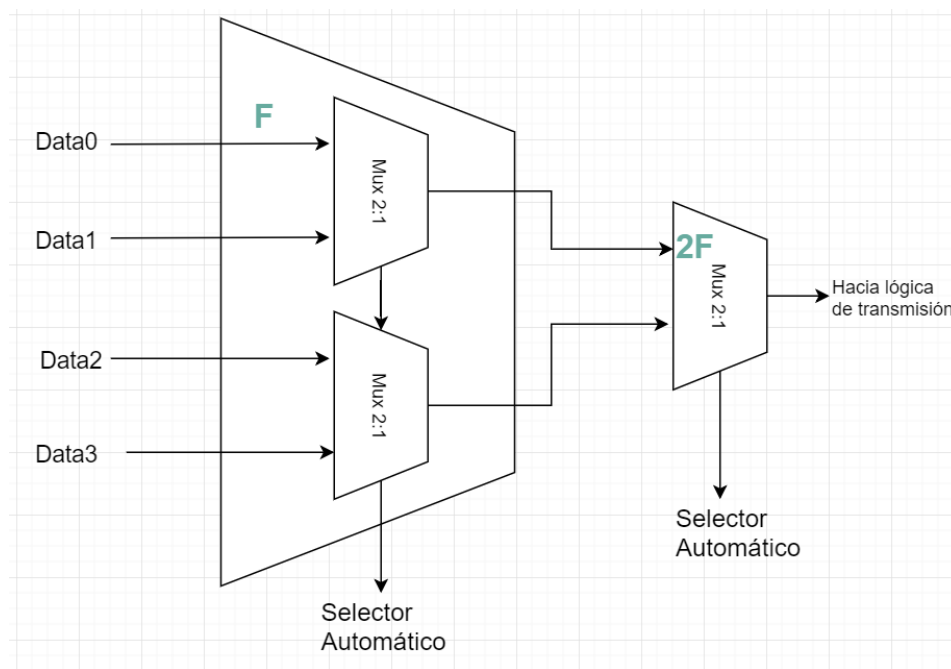


Figura 2: Arquitectura de la lógica de muxes [Creación propia]

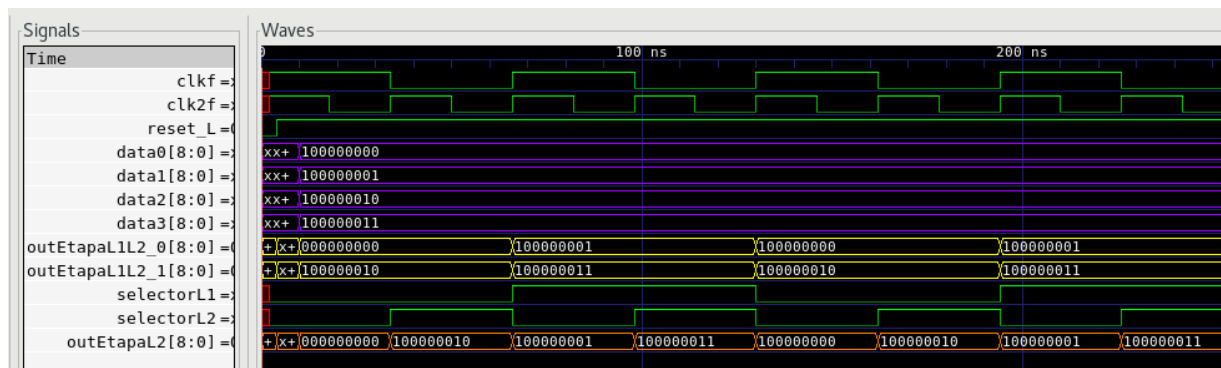


Figura 3: Señales lógica de muxes prueba 1 [Creación propia]

En la figura 3 se muestra la simulación de la lógica de muxes. Se observa que cuando todas salidas son válidas, en la salida se pone según la señal de reloj, cada una de las entradas. Para facilitar el funcionamiento de la lógica de muxes, se puso como dato en las entradas el número de entrada como se observa en la figura 3.

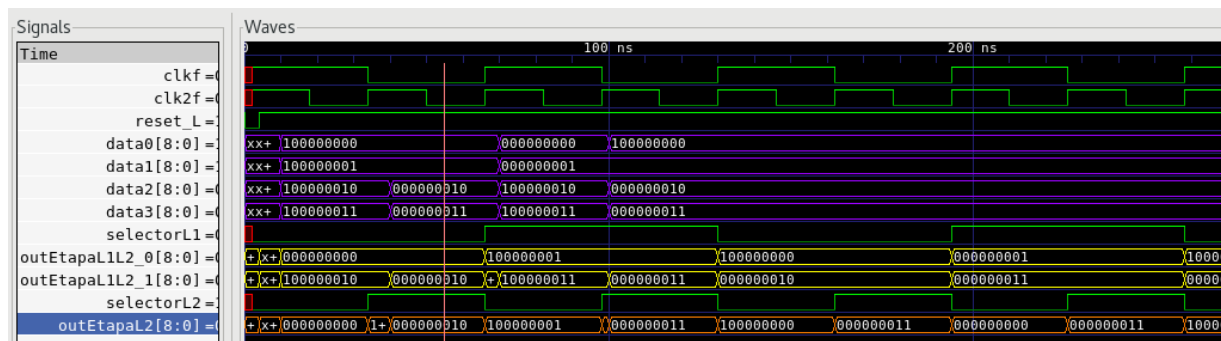


Figura 4: Señales lógica de muxes prueba final [Creación propia]

En la figura 4 se muestran la simulación invalidando algunas señales de entrada. Se observa que en ese caso, la lógica de muxes se comporta según lo solicitado al poner el último valor válido con el bit de valido en cero. Cuando las señales se validan, se ponen según el orden que se mostró en el caso cuando todas las entradas son validas.

1.3. Paralelo - 2b serial

Se hizo un convertidor paralelo a "serial" de 2 bits que recibe como entrada un bus de 9 bits cuyo bit más significativo indica si el dato que se está transmitiendo es válido y los restantes 8 son el dato en sí. Un diagrama simplificado del módulo se presenta en la figura 5.

El diseño realizado contiene las siguientes entradas y salidas:

- Entrada **clk4f**: es el reloj que controla la llegada de datos de 9 bits al módulo
- Entrada **clk16f**: es el reloj que controla el muestreo de los datos dentro del módulo. Es importante recalcar que como se deben pasar 8 bits (los 8 del dato, el de valido no se transmite en esta etapa) en un bus de solamente 2 bits, esta frecuencia de muestreo para enviar los 8 bits de 2 en 2 es cuatro veces más alta que la frecuencia a la que se reciben los datos a la entrada del módulo.
- Entrada **reset**: Es el reset del sistema de transmisión de datos, el cual cuando se encuentra en 1 hace que se mande el código \$BC a través del bus de 2 bits.
- Entrada **reset_L**: es una señal que cuando está en bajo inicializa los valores de las variables internas del módulo y de la salida.
- Entrada **paralelo**: es el bus que ingresa al módulo que contiene 9 bits. Como se indicó anteriormente, el bit más significativo indica si el dato es válido o no (1 es válido, 0 es inválido). Los bits restantes son el dato que se quiere transmitir.
- Salida **serial**: Es el bus de 2 bits de salida del módulo. Cuando la entrada reset está en alto o el bit valid del dato está en bajo, se pone en este bus el valor de \$BC. Sino, se transmite el dato que viene desde el bus de entrada.

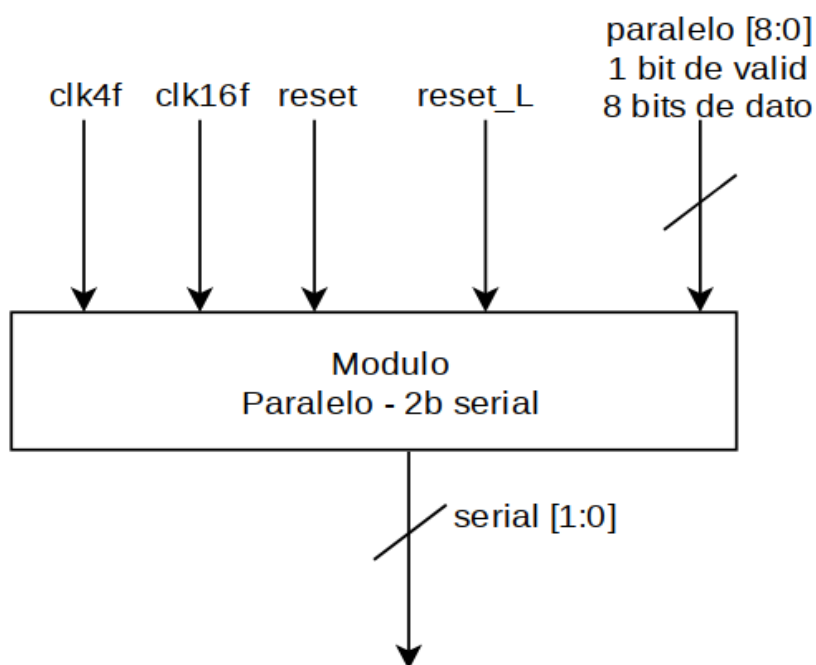


Figura 5: Convertidor paralelo a 2b serial [autoría propia]

En la figura 6 se muestran los resultados de las pruebas realizadas al módulo. En el primer ciclo del reloj $clk4f$ la entrada *reset* se tiene en 1, por ende la salida *serial* presenta los valores \$BC (aunque la entrada \$FF tenga el valid en 1), los cuales están codificados en binario como 1011 1100. Luego de esto, a la entrada *reset* se pone en bajo y la salida *serial* empieza a pasar el valor de la entrada *paralelo*, que en este caso es \$55 con el bit valid en 1, el cual codificado en decimal es 0101 0101. Un ciclo después del reloj $clk4f$ la entrada paralelo toma el valor de \$00 también con el bit de valid en 1, por ende pasa a la salida. Un ciclo del reloj $clk4f$ después se pone a la entrada el valor \$FF pero con el valid en cero, por ende a la salida se ponen de nuevo los valores \$BC codificados en binario como 1011 1100, mismo caso para cuando después se pone la entrada \$55 con el bit valid en cero. Finalmente, se pone de nuevo a la entrada el valor \$00 con el valid en 1 por el resto de la simulación, y se observa que este valor se propaga a la salida. Es importante recalcar el funcionamiento idéntico entre las descripciones conductual y estructural.

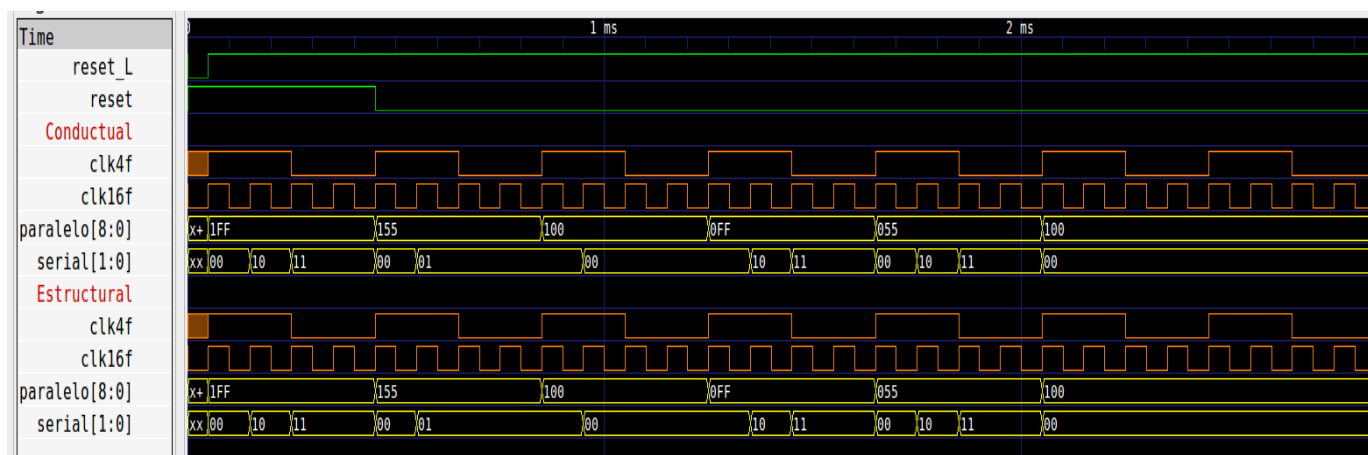


Figura 6: Comprobación funcionamiento Paralelo - 2b Serial [Autoría Propia]

1.4. 2b Serial a Paralelo

Para esta sección se toma la salida de la sección anterior y se prueba recuperar su señal de entrada a en la salida del modulo *serialParalelo*. Se conectan los módulos como se muestran en la Fig. 7; la entrada serial de 2 bits corresponde a la de la etapa anterior, el cl16 se genera desde el probador así como el reset16, por salida se tendrá el registro outParalelo de 9 bits, el cual se pasa a la etapa de demuxes.

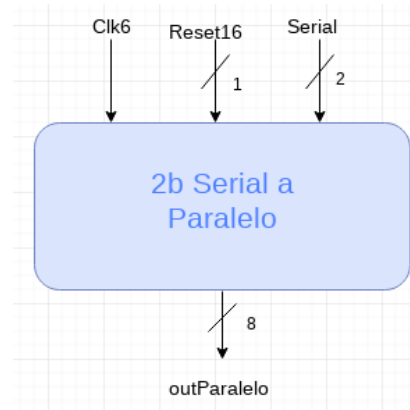


Figura 7: Convertidor 2b serial a paralelo a [autoría propia]

Para la lógica de esta sección se toma utilizan las siguientes variables :

- contador[2:0], registro en que se cuenta los BC recibidos.
- i[1:0], registro contador de pares de serial que se han recibido, si es 4 se propaga el dato hacia outParalelo.
- paralelo[7:0], registro de 8 bits que almacena las entradas de serial
- active, wire que está alto cuando contador es ≥ 4
- com , wire que se encuentra en 1 si paralelo es \neq BC
- valid, señal que se activa cuando active y com están en alto

Para detectar los cambios de paralelo, se revisa en cada ciclo si ya alcanzó el valor de BC, si lo hizo se asigna este valor a paralelo y posteriormente en outParalelo, como la concatenación valid,paralelo.

Para poder probar su funcionalidad se envían primero 3 datos inválidos, los cuales incrementan *contador* y se observa en la señal *paralelo* como hay 3 BC antes de los primeros 3 marcadores de la Fig.8. Posteriormente se envía el dato válido 100, obteniéndose a la salida un 000, como es esperado ya que *contador* no es aún mayor o igual a 4 , después se envía un dato inválido más y dos válidos para observar como al aumentar el contador a 4 la señal de valid se activa y se tienen señales válidas en *outParalelo* comprobándose así la correcta propagación y recibimiento de las señales.

En esa misma Figura se tiene la gráfica del convertidor estructural en la que las salidas son iguales a las del conductual.

Utilizando la instrucción make all se puede correr todo el ejemplo con la gráfica en gtkwave de las señales de salida.

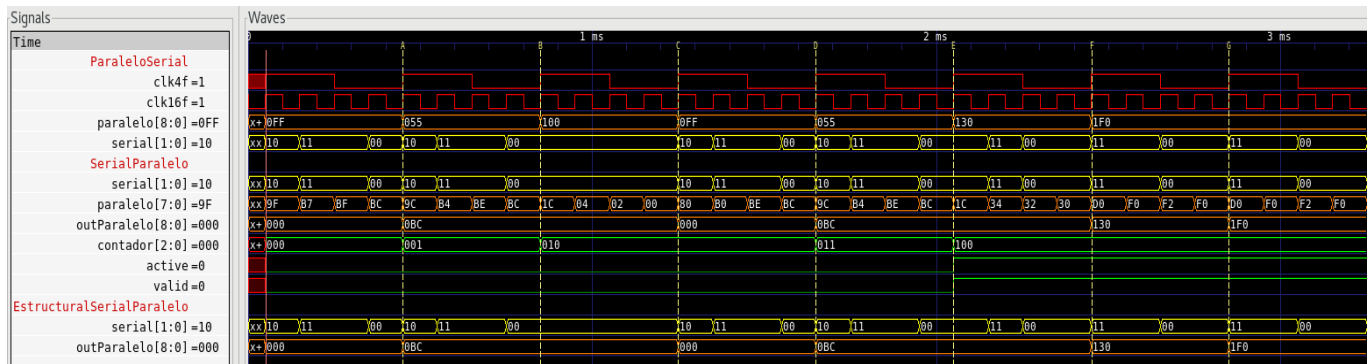


Figura 8: Señales convertidor 2b serial a paralelo, conductual y estructural [autoría propia]

1.5. Lógica demuxes

Para la lógica de demuxes en el receptor, se tiene un funcionamiento igual al de la lógica de muxes, con el pequeño cambio de que los datos viajan en sentido opuesto. Por lo que el diseño arquitectónico es igual al de la figura 1.2 con todas las flechas en sentido contrario.

Se parte de un mux 1 a 2, esto es, que los datos entran por una sola entrada y salen por dos salidas. Se transmitirán sin ningún problema los datos con bit de valid igual a 1, en caso contrario, se pone en las salidas el último dato válido, pero con el bit de valid en cero.

La siguiente etapa consiste en tomar las anteriores 2 salidas y obtener 4 salidas que corresponden a los datos transmitidos. Para esto se utilizan dos muxes 1 a 2.

Es fundamental utilizar los relojes correctos para la efectiva propagación de los datos. Se tienen frecuencias más altas en el principio de la lógica de demuxes, disminuyendola conforme se van teniendo más salidas.

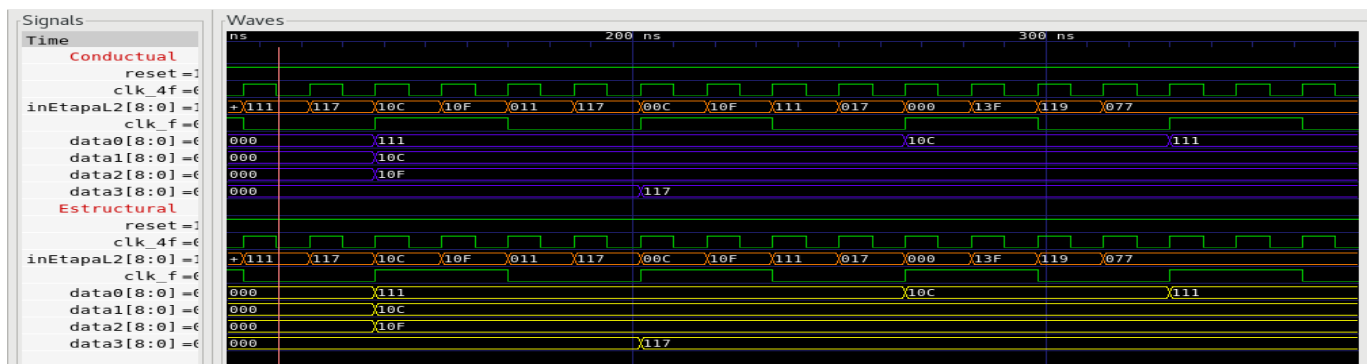


Figura 9: Señales conductual y estructural lógica demuxes [autoría propia]

En la figura 9 se muestran los resultados obtenidos al simular la descripción conductual y la descripción estructural obtenida con yosys. Se procede primeramente a enviar una secuencia de datos varias veces, se observa que en las salidas finales de ambas descripciones, se tienen los datos definidos en la secuencia. Cada salida tiene su dato de entrada. Seguidamente, se procedió a invalidar ciertas entradas y se observa que el demux funciona adecuadamente, conservando en la salida el último

valor válido pero con el bit de valid igual a cero. Para compilar, sintetizar y ejecutar las simulaciones de ambas descripciones, se debe de ejecutar el comando **make** dentro de la carpeta **DemuxesLogic**

1.6. Phy_tx

Este bloque por dentro tiene una lógica de multiplexores, explicada en la sección 1.2, y una lógica que convierte de paralelo a 2b serial, descrita en la sección 1.3. El bloque lo que hace es recibir datos de 9 bits a una frecuencia f , donde el bit más significativo indica si es válido y los restantes 8 son el dato en sí, y sacarlos por un bus de 2 bits a una frecuencia $16f$. En la figura 10 se muestra un diagrama simplificado, donde se muestran las entradas y salidas de datos del bloque.

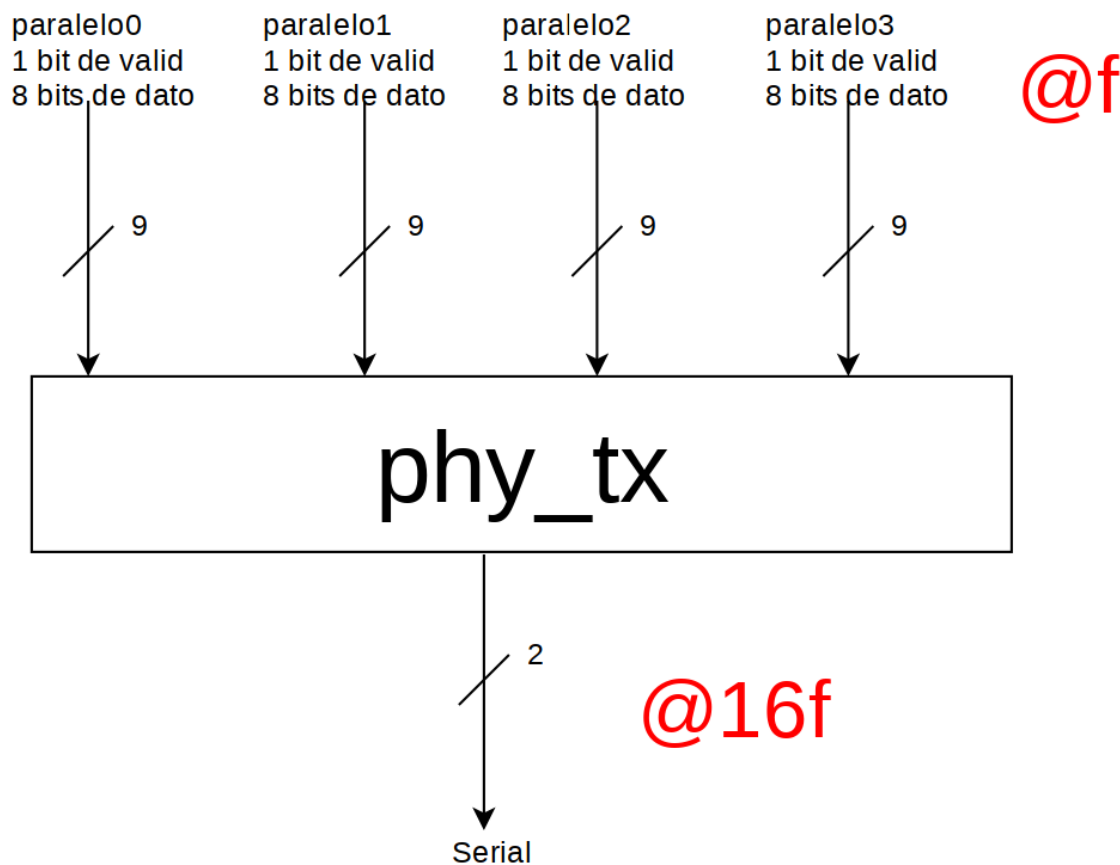


Figura 10: Diagrama simplificado Phy_Tx [autoría propia]

En la figura 11 se muestran los resultados de una prueba realizada al bloque, donde se muestran las 4 entradas de datos en color naranja, la salida de la etapa de los multiplexores en color azul (dato en paralelo que llega al módulo convertidor de paralelo a 2b serial) y la salida del bloque en color amarillo (tanto la conductual *serialCond* como la estructural *serialEst*). Inicialmente, como la salida del bloque está en 0, con el bit de valid también en cero, se envía por el bus de 2 bits el número en hexadecimal \$BC, el cual se codifica como 1011 1100. Este valor se envía por el bus de 2 bits un total de 7 veces, hasta el momento en que en la salida de los multiplexores (señal de color azul) llega el primer dato que viene desde la entrada, en este caso \$FF con el valid=1. Entonces, por el bus de salida (amarillo) se envía el dato mencionado, seguido de \$FA (1111 1010), \$F5(1111 0101) y \$F4 (1111 0100), ya que todos estos tienen el bit de valid en 1.

Seguidamente, llega el valor \$FF pero con el valid en cero (en la salida de los muxes se pone el dato de dos ciclos antes pero con el bit de valid en 0, por eso se ve un 0\$F5), por lo que se envía por el bus de salida de nuevo un \$BC. Luego, llega un dato \$FF (1111 1111) pero válido, por lo que se transmite y finalmente llega de nuevo \$FF con el valid en cero, por lo que de nuevo se envía un \$BC.

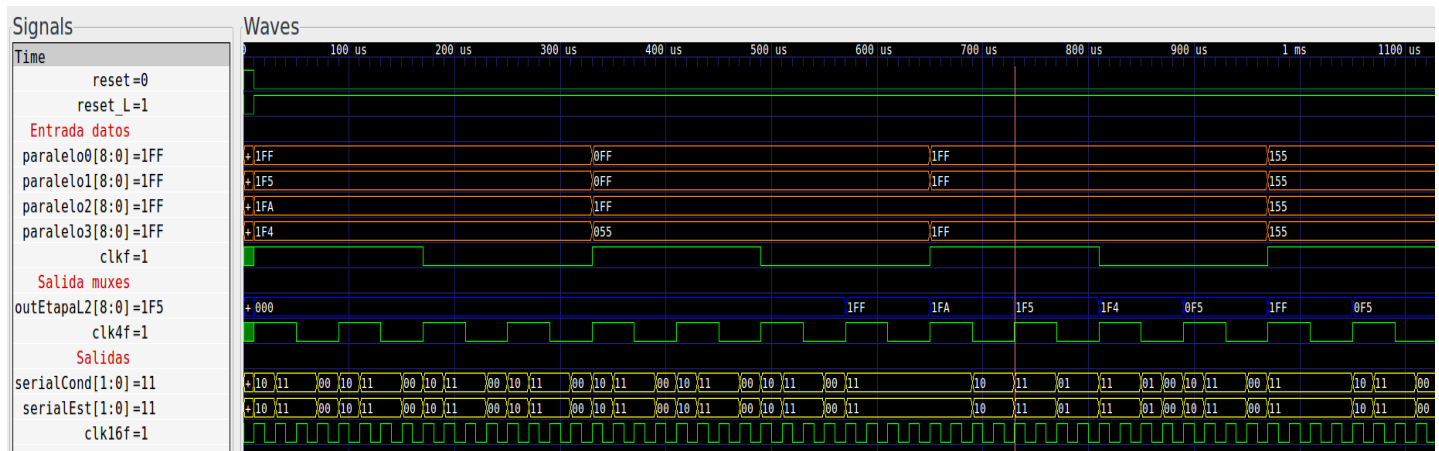


Figura 11: Comprobación funcionamiento bloque Phy_Tx [Autoría Propia]

1.7. Phy_rx

Para la implementación del módulo phy_rx se utilizaron los módulos serial-paralelo y el de lógica demuxes, descritos en las secciones 1.4 y 1.5 del presente reporte.

En la figura 12 se observa el diseño arquitectónico del módulo phy_rx.v, se observa que tendrá como entrada la señal serial de dos bits a una frecuencia de 16f Hz. Por otro lado, se tienen 4 salidas de 8 bits + bit de valid, que corresponden a los datos enviados a través del puerto serial, a una frecuencia de f Hz.

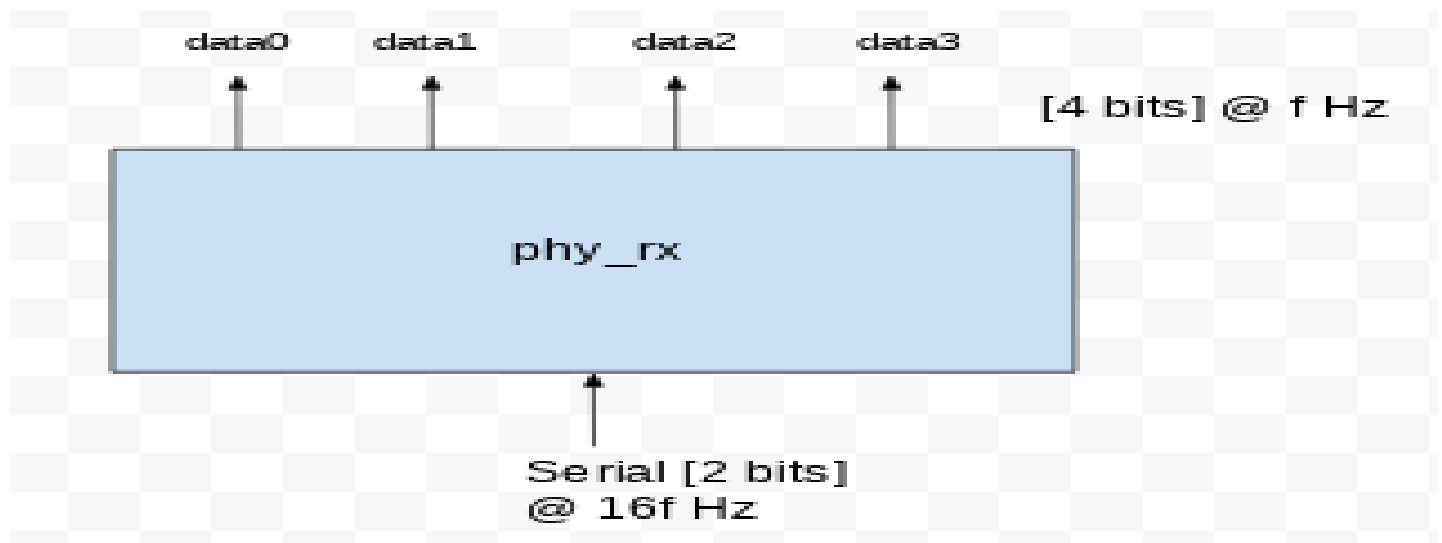


Figura 12: Módulo phy_rx [Autoría Propia]

Para probar el funcionamiento del módulo phy_rx se enviará primeramente la secuencia de inicialización (correspondiente a cuatro \$BC) para transmitir los datos, seguidamente se transmitirán los siguientes datos por el puerto serial: \$FF, \$88, \$66 y \$AA.

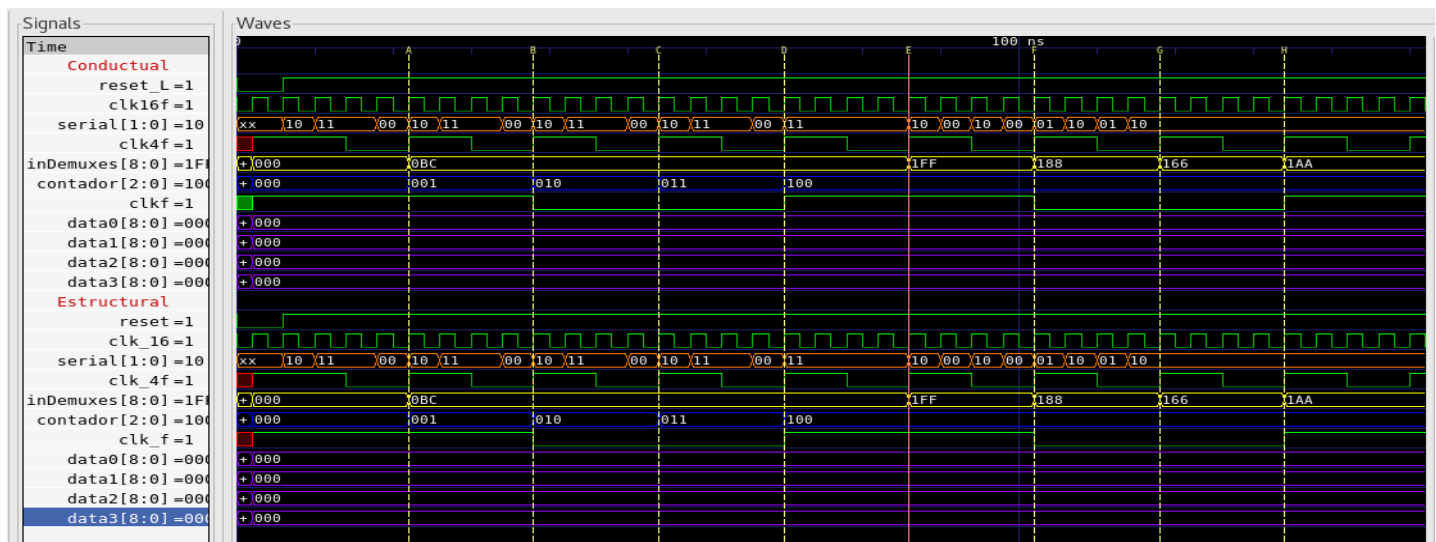


Figura 13: Secuencia de inicialización phy_rx [Autoría Propia]

En la figura 13 se observa la secuencia de inicialización que se le prueba al módulo. La señal naranja corresponde al puerto serial de 2 bits que trabaja a una frecuencia de 16f Hz. La señal amarilla corresponde al dato que le transfiere el módulo serial-paralelo a la lógica demuxes a una frecuencia de 4f Hz. Por otro lado, la señal azul corresponde al contador de códigos \$BC, donde al llegar a 4 se puede transmitir.

Después de la inicialización se observa en la señal amarilla, que se comienza a enviar los datos propuestos para probar el módulo.

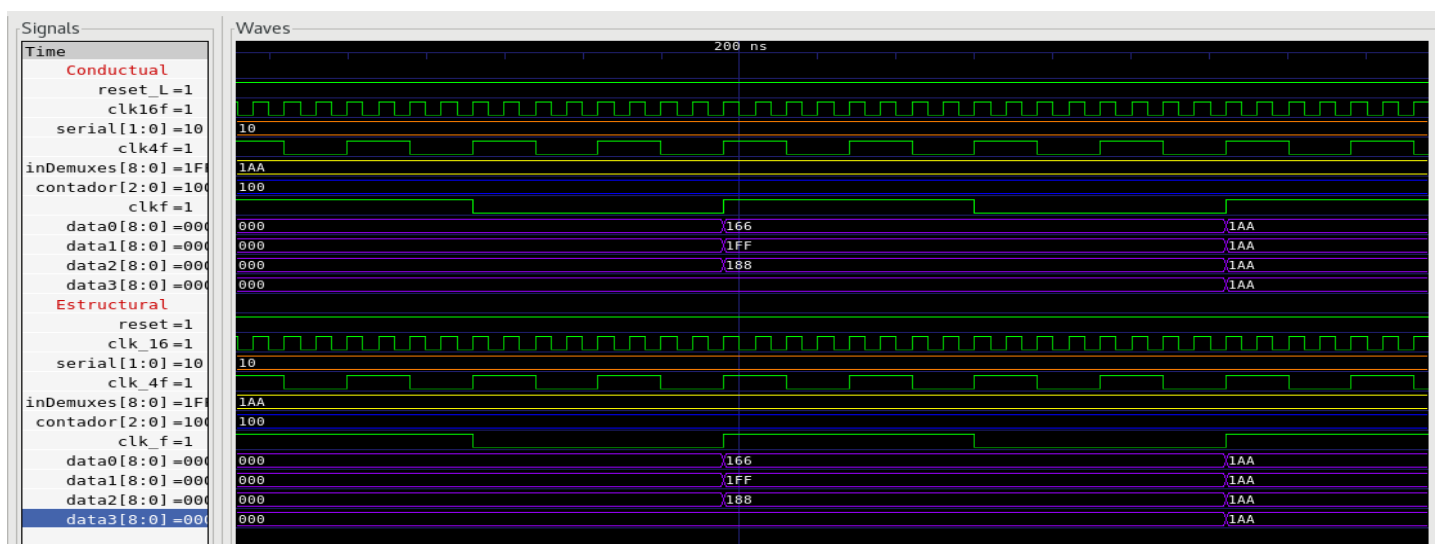


Figura 14: Transmisión de datos al módulo phy_rx [Autoría Propia]

Finalmente, se observa en la figura 14 la transmisión de los datos propuestos, tanto en la descripción conductual como en la estructural sintetizada por yosys. Es importante observar que hay un tiempo de propagación a través del módulo que se debe de cumplir para ver en los datos de salida, los ingresados por el puerto serial.

2. Phy

Finalmente, debe de unirse los módulos realizados anteriormente y probar la funcionalidad completa del proyecto. Se propone una arquitectura como la que se muestra en la Fig.15, en la cual las salidas de probador llamadas paraleloN son los datos de entrada a una frecuencia f en el phy(conductual) y phyEst(estructural).

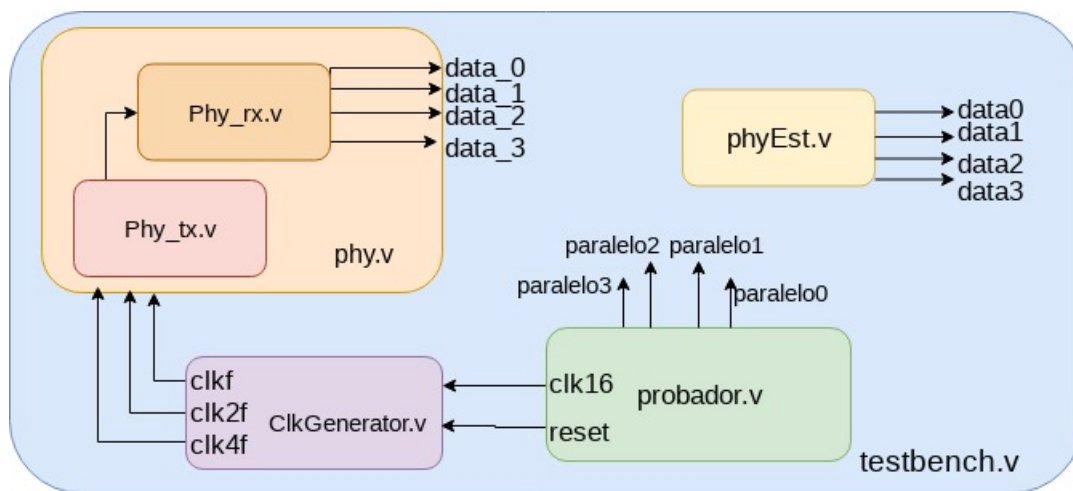


Figura 15: Arquitectura comunicación phy [Autoría Propia]

Para esta parte del trabajo se requiere el uso de *autoinst*, paquete de emacs para instanciar automáticamente los módulos. Para instalarlo se debe descargar en <https://www.veripool.org/ftp/verilog-mode.el> el archivo verilog-mode.el y agregarlo al path de emacs *usr/local/share/emacs/site-lisp*. Para que los cambios sean permanentes debe modificarse también el archivo *site-start.el* como se indica a continuación, si el archivo no existe en ese path hay que crearlo.

```
;; Load verilog mode only when
needed
(autoload 'verilog-mode "verilog-
modeVerilog mode"t )
;; Any files that end in .v should
be in verilog mode
(setq auto-mode-alist (cons '("
.v
". verilog-mode) auto-mode-
alist))
;; Any files in verilog mode should
have their keywords colorized
(add-hook 'verilog-mode-hook
'(lambda () (font-lock-mode 1)))
```

Una vez realizado esto, al momento de realizar la instancia de cualquier módulo que se desee, se escribe en vez de la lista de puertos el comentario `/*AUTOINST*/` y se presiona C-c C-a para que se realice automáticamente la instancia. También con este paquete existe la posibilidad de utilizar el comando `/*AUTOWIRE*/` con el cual se instancia automáticamente los wires que conectan las instancias de los módulos, como ese muestra en la Fig 16. Ambos comandos fueron utilizados en el módulo `phy.v` para las instancias de `phy_rx.v`, `phy_tx.v` y `ClkGenerator.v` y dentro del testbench para la instancia de `probador.v` y `phy.v`

```
/*AUTOWIRE*/
// Beginning of automatic wires (for undeclared instantiated-module outputs)
wire [1:0] serial; // From phyTx of phy_tx.v
// End of automatics

phy_rx phyRx (/*AUTOINST*/
// Outputs
.data_0 (data_0[8:0]),
.data_1 (data_1[8:0]),
.data_2 (data_2[8:0]),
.data_3 (data_3[8:0]),
// Inputs
.clk_f (clkf),
.clk_2f (clk2f),
.clk_4f (clk4f),
.clk_16 (clk16),
.reset (reset),
.serial (serial[1:0]));
```

Figura 16: Uso de `autoinst` y `autowire` en emacs[Autoría Propia]

Al simular las señales se obtiene las Fig. 17 y Fig. 18. En estas puede notarse que las entradas al módulo en el primer `clkf`, fueron 1FF,1F5,1FA,1F4 y se reciben correctamente en la salida conductual

y la salida estructural. Posteriormente se envían a paralelo 0,1 valores inválidos en los cuales se mantiene su valor anterior en la salida conductual y estructural. Al cambiar las entradas en el tercer ciclo cambian a su vez correctamente las salidas.

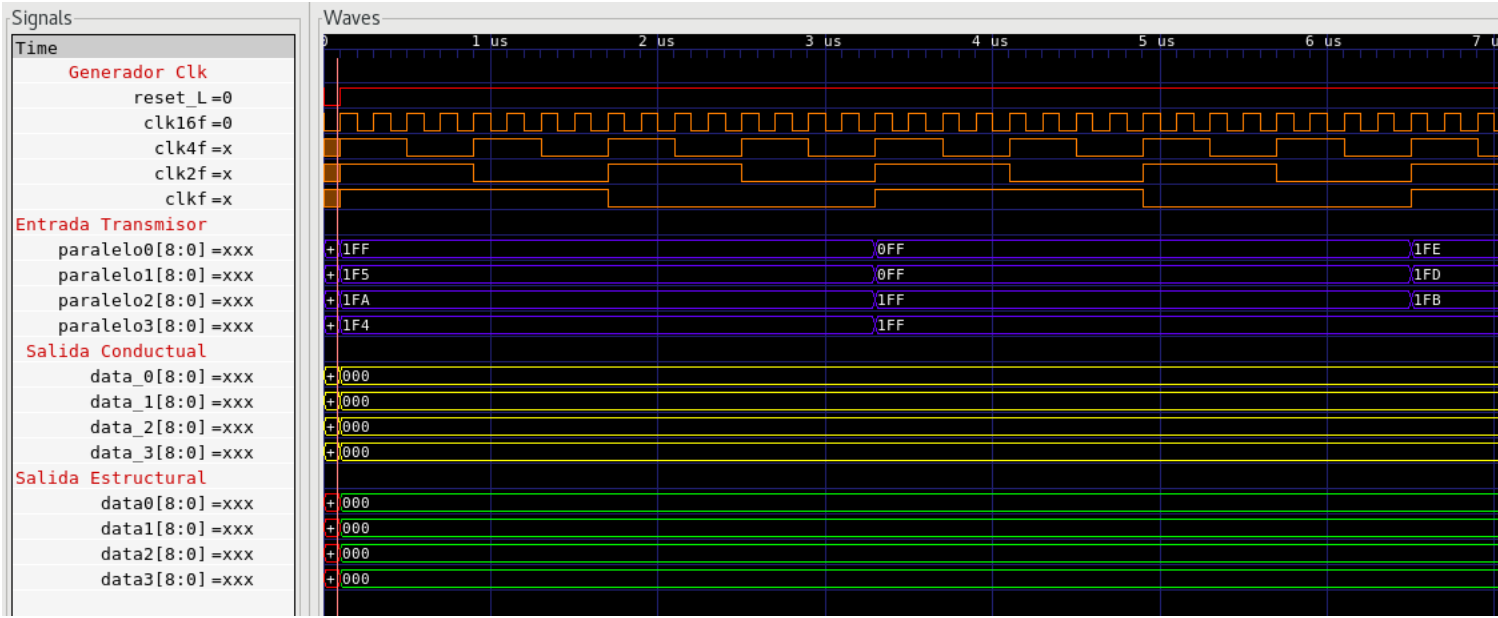


Figura 17: Señales de entrada, módulo phy[Autoría Propia]

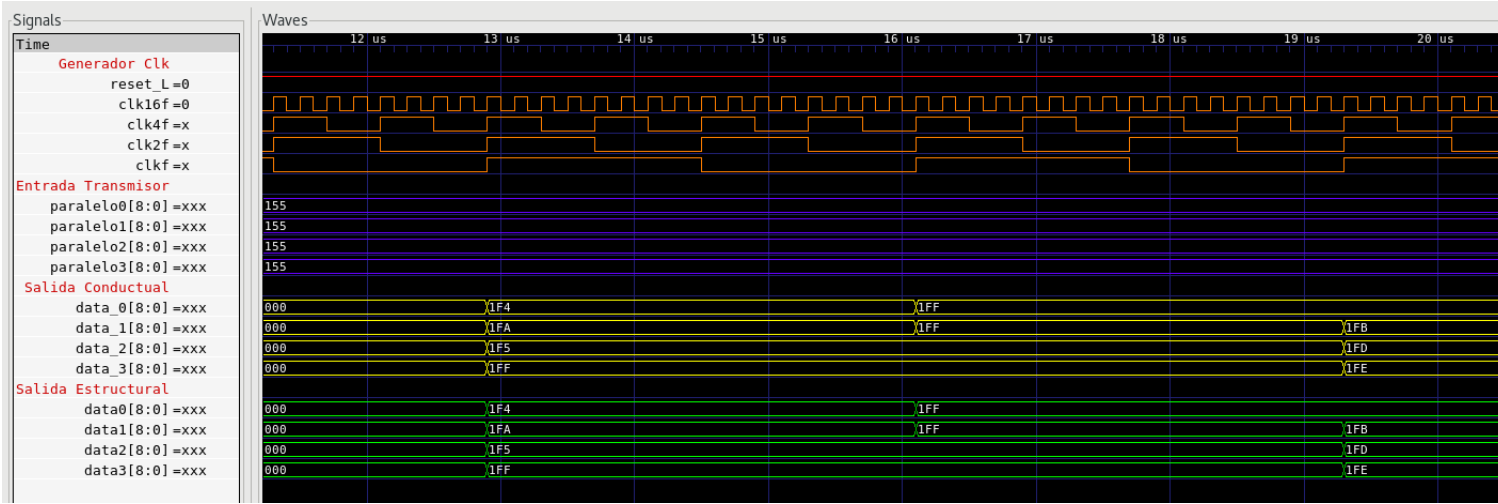


Figura 18: Señales de salida, módulo phy[Autoría Propia]

Referencias

- [1] Material del curso Circuitos Digitales 2 IE-0523
- [2] Enunciado del proyecto brindado por el profesor